

ΣΥΣΧΕΤΙΣΗ ΒΑΡΥΤΟΜΕΤΡΙΚΩΝ ΠΑΡΑΤΗΡΗΣΕΩΝ ΚΑΙ ΤΗΣ ΜΕΤΑΣΕΙΣΜΙΚΗΣ ΑΚΟΛΟΥΘΙΑΣ ΤΟΥ ΣΕΙΣΜΟΥ ΚΑΛΑΜΑΤΑΣ (13-9-1986)

Κ. Δημητρόπουλος* και Ε. Λάγιος**

ΠΕΡΙΛΗΨΗ

Στην περιοχή αυτή γεννήθηκαν προσπάθειες κατανομής των τεκτονικών διεργασιών που έλαβαν χώρα κατά και μετά τον μεγάλο ($M=6.2$) πρόσφατο σεισμό στην περιοχή καλαμάτας (13-9-1986), με βάση γεωργικά και σεισμολογικά δεδομένα. Η ανακύρηση της μετασεισμικής σειράς έχει δεῖξει την υπαρξία άμεσων μετασεισμών, τα οποία διαφοροποιούνται χωρικά και χρονικά, χαρακτηρίζονται διά από διεφρετικούς μηχανισμούς γέννησης: στο βορειό σημάνος επικρατούν εφεκτικούς τάσεις, ενώ στο νότιο συμπιεστικές. Οι λεπτομερείς βαρυτικές μετρήσεις απεριτέλειας κατά μηκός τομών πληργύσουν περιοχή δειχνούν την υπαρξία υψηλών βαθμών βαρυτήτας κοντά στην περιοχή της καλαμάτας. Οι βαθμούς αυτών μπορούν να εξηγηθούν με την υπαρξή κανονικού ρύγματος με διεύθυνση ΒΔ-ΝΑ και μεταπτωτή πράσινο νότο. Η διεύθυνση αυτή επιβεβαιώνεται και από πρόσφατα δήμοσευθείσα ανακάλυψη της μετασεισμικής ακαλούσιασης, που υποδεικνύει ότι το νότιο σημάνος συνεπιπέδα ελλειψώσιδη διεύθυνσης ΒΔ-ΝΑ και κλίσης $\approx 25^\circ$. Το κανονικό αυτό ρύγμα πιθανόν να ενεργοποιήθηκε σε κενήση φυλετισμούς ολεθρίσης μετά τον κύριο σεισμό προκαλώντας επιστροφή σημείων συμπίεσης. Η μπορητική αυτή διαφέρει από την κρατούσα αντίληψη στην οποία η μετασεισμική δραστηριότητα οφειλεται στο μεγάλο κανονικό ρύγμα της θέρης με γενική διεύθυνση Β-Ν.

ABSTRACT

After the destructive Kalamata earthquake (Sept. 13, 1986 $M=6.2$) gravity measurements along profiles were carried out to the north and east of the city. The profiles show high gravity gradients to the north and north-east of Kalamata. The high gravity gradient near the Nedon River confirms the existence of a fault striking along the river confirming the western boundary of both the Perivolakia Graben and the extent of the area of the severe earthquake damages. High gradients along two small N-S and one NE-SW profiles suggest the existence of fault(s) within the graben and under the Pleistocene - Holocene sediment cover of probable E-W to NW-SE direction, exhibiting a throw to the S-SE. The distribution of the aftershock epicenters around Kalamata city has shown two distinct clusters

K. DIMITROPOULOS & E. LAGIOS. Correlation between gravity observations and the aftershock sequence of the Kalamata earthquake (13-9-1986).

* ΔΕΠ - ΕΚΥ, Ιερματίνας 149, Αθήνα 151 24.

** Γεωπέδες Γεωργικής - Γεωθερμικής Πανεπιστημίου, Αθήνα, Πανεπιστημιούπολη, 14131, Αθήνα 157 84.

separated by a narrow zone of no seismic activity. The two clusters substantially differ in a number of characteristics: (i) The southern cluster, in contrast to the northern one, shows a uniform behaviour in their analysis with the principal parameters method; (ii) the southern cluster has been activated later than the northern one in the aftershock sequence; (iii) the mean hypocenter depth is deeper for the northern compared to the southern cluster; (iv) the southern cluster shows a much larger dispersion than the northern one; (v) the focal mechanisms for the northern cluster suggest a N105°E extension, whereas a compression of similar direction is also observed in the southern cluster; (vi) the hypocenters' projection on the vertical plane through the Kalamata Fault trace fall within the expected fault zone in the northern cluster, and most of them in the footwall in the southern cluster.

The study of the direction of the contact between the Tripolis flysch and limestones and the Pleistocene sediments, the NW-SE trend of the Pleistocene-Holocene sediments contact and the change of the flow direction of the Venitsa and Kserilas Rivers at these contacts, along with some mapped faults of a general NW-SE direction and the change of the Kalamata Fault trend, suggest that the existence of a zone of NW-SE trending basement faults is probable to the NE of Kalamata. The same direction is also suggested by the co-planar ellipsoids of the southern cluster aftershocks. It is believed that a major part of the aftershock activity in the southern cluster is related to movements along these NW-SE trending faults, and even the largest aftershock may have occurred at the junction of the Kalamata Fault with these faults.

1. Εισαγωγή

Εντούτοις γνωστό ότι η πόλη της Καλαμάτας επλήγη από ισχυρό επιφανειακό σεισμό μεγέθους $M_s = 6,2$ στις 13-9-1986, το επίκεντρο του οποίου τοποθετείται σε απόσταση περιπου 10 χιλιομέτρων βόρεια από τα λιμάνια (Papazachos et al., 1986). Δύο μέρες αργότερα συνέβη ο μεγαλύτερος μετασεισμός μεγέθους $M_s = 5,4$ με επίκεντρο πολύ κοντά στο λιμάνι. Η πόλη υπέστη σοβαρές ζημιές από τους σεισμούς. Σημαντικές ζημιές υπέστησαν επίσης τα χωριά που βρέθηκαν μέσα στην σχετικά μεγάλη περιοχή, που ορίζεται από τις ίδιες ρηγματών των παταμένων τριγωνική λεκάνη, που ορίζεται από τις ίδιες ρηγματών των παταμένων Σερίλα πρός τα νότια, Νέδοντα πρός τα δυτικά, την ίδια ίδια Καρβέλι-Βεντσά πρός τα βόρεια, και την ίδια ρηγματών θιεζόνιας.

BBD-NNA πρός τα ανατολικά στην περιοχή του χωριού Αράχωβα (Mariolamkos et al. 1989), που φαίνονται στο σχήμα 1.

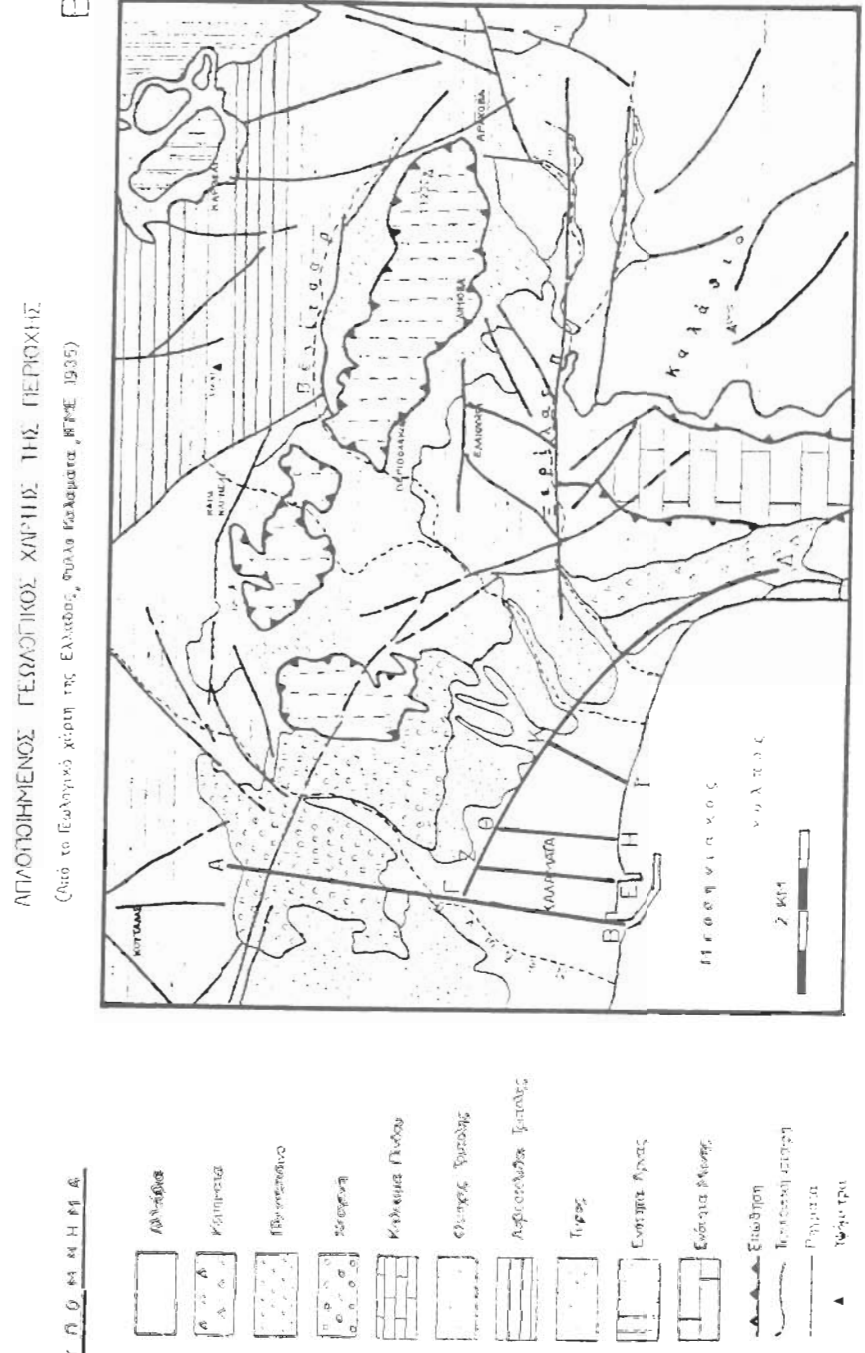
Η ευρυτερή περιοχή στην ΝΔ Πελοποννήσου έχει αναγνωρισθεί σαν περιοχή μεγάλου σεισμικού δυναμικού και πολύ υψηλής πιθανότητας για την εκδήλωση μεγάλων σεισμών (Purcaru & Berckhemer 1979, 1982; Wyss and Baer 1981; Papadimitriou & Papazachos 1985; Papazachos et al. 1986). Στην περιοχή Μεσσηνίας ισχυροί σεισμοί έχουν συμβεί και στο παρελθόν, όπου δε είναι μεγάλη βάθους ($h < 10$ km), ενώ απομεινάσια σεισμοί ενδιαμέσου βαθους.

2. Γεωλογία Περιοχής

Οι γεωλογικοί σχηματισμοί που συναντώνται στην ευρυτερή περιοχή της Καλαμάτας φαίνονται στο σχήμα 1. Γιας σχηματισμούς αυτούς μπορούμε να τους χαρίσουμε σε Αλπικούς και Μεσοεπικούς.

2.1 Αλπικοί Σχηματισμοί

Αποτελούνται από πετρωματα των ενοτήτων Μάνης, Ηρακλείου και Λιγύδου. Η ενότητα Μάνης συναντάται στην περιοχή των χωριών Ηγώ και Κάτω Βέργας και θεωρεύται ως η αιτίας ζημιών ενότητα της περιοχής. Αποτελείται από πλακώδεις κρυσταλλικούς ασβεστόλιθους ηλικίας Ανω Σενναίου - Ανω Ηκαίνου και από την ελασσική ιεραρχία του φλύση ηλικίας Ανω Ηκαίνου - Ολιγοκαίνου. Στην περιοχή Καλαμάτας εμφανίζονται μόνο τα στρωματα μεταβαστής από τους ασβεστολιθους ιστον φλύση.



Σχήμα 1. Γεωλογικός χάρτος ευρύτερος περιοχής Καλαμάτας με δέσιες βαροτυπών προφύτες.

Figure 1. Simplified geological map of Kalamata broader area and gravity anomaly profiles.

Η ενότητα Αρνάς, που συναντάται στην περιοχή των χωριών Καρβέλαι και Λαδίσ, επίκεντρο τεκτονικό της ενότητας Ιανοΐς και υπόκεντρο της ενότητας Γρυπολήσ. Η περιλαμβάνει πολυστραχωμένους οχυστόλιθους, μετακρυκαλοπαγή, μεταβασιτικές, χαλαζίτικες, μαρμαρά και σεριπεντίτιτες.

Η ενότητα Γρυπολήσ, που καλύπτει την μεγάλυτερή έκταση των αλπικών οχυμάτων, επίκεντρο των ενότητων Νεάπολης και Αρνάς και υπόκεντρο τεκτονικό της ενότητας της Μουσού. Η περιλαμβάνει πετρωματα ηλικίας περίπου έως και Ολυμποκανου, που απαριθμούνται σε άριστες επιφέρουσες ενότητες : (α) τα ιστρωματα λυριών ηλικίας περιπτου - Κάτω Γρυπολήσ, αποτελούμενα από ηφαιστειακο-ιανθίνια πετρωματάκια και θυελλαρικά πετρωματα ηλικίας Μέσου Γρυπολήσ - Άνω Ηωκαλίου, με κύριο χαρακτηριστικό τους πολύ εύτονο βρύγματογόνο τεκτονισμό τους, και (γ) την κλασική σειρά του φλύση ηλικίας Άνω Ηωκαλίου - Ολυμποκανου, που αποτελείται κύρια από εναλλαγές πηλώστων και φαρματών.

Η ενότητα της Μουσού παρουσιάζεται στο τεκτονικό βάθυττα Διμηνοβάση-Περιβολάκιων, και αποτελεί την αντίτερη τεκτονική ενότητα της ευρυτερής περιοχής, που ενισχύεται στην ενότητα Γρυπολήσ. Η περιλαμβάνει τον πρώτο φλύση και κεραστόλιθους ηλικίας Ιουρασικού - Κάτω Κρητιδικού, και εντονότερα τεκτονισμένους και πολυστραχωμένους λεπτοπιλακώδεις ασβεστολιθώνις ηλικίας Τουραντού - Σεναντού.

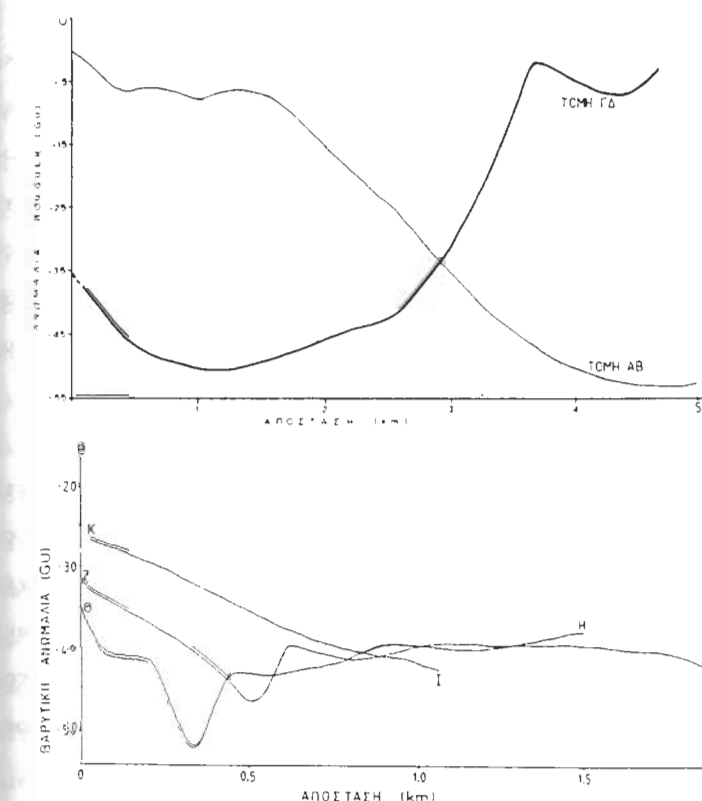
2.2 Μεταλικοί Σχηματισμοί

Αποτελούνται από αποθέσεις Νεογενούς και Τεταρτογενούς γηλικών, με πλειοκατιντικούς σχηματισμούς έχουν αποτελεῖσθαι ασύμφωνα πάνω σ' ένα διαμορφωμένο παλαιοανάγλυφο αλπικών σχηματισμών. Προέρχονται κύρια από θαλάσσιες και δελταϊκές αποθέσεις και αποτελούνται από εναλλαγές κροκαλοπαγών, ψαμμιτών και μαργάνων. Οι Τεταρτογενείς αποθέσεις αποτελούνται από τον ερυθροπυριτικό κλαστικό σχηματισμό, πλειστοκατιντικής γηλικάδας, που έχει αποτελεῖσθαι ασύμφωνα πάνω στους Νεογενείς σχηματισμούς, από αλλούβιακα ρυπύδια και κάνουσι πλευρικά κοριμάτων.

3. Βαρυτικές Μετρήσεις

Στην ευρύτερη περιοχή βόρεια και ανατολικά της Καλαμάτας έγινεν μετρήσεις βαρυτητας κατά μήκος πέντε τομών συνολικού μήκους 17 περίπου χιλιομέτρων, η οποίαν φαίνεται στο σχήμα 1. Οι πλέον σημαντικές απ' αυτές τις τομές είναι : (α) Η τομή AB με διεύθυνση B-N που εκτείνεται από το λιμάνι μέχρι την εμφάνιση των ασβεστολίθων της ενδητας Τρίπολης, βόρεια από την Καλαμάτα. (β) Η τομή ΓΔ που εκτείνεται από το βόρειο τμήμα της πόλης μέχρι την παραλία του χωριού Βέργα, με γενική διεύθυνση ΒΔ=ΝΔ. Οι δύο μικρότερες τομές EZ και HB έχουν γενική διεύθυνση Β-Ν, ενώ η ανατολικότερη μικρή τομή IK έχει διεύθυνση ΒΑ-ΝΔ. Όλες οι τομές των βαρυτομετρικών ανωμαλιών φαίνονται στο σχήμα 2.

Οι μετρήσεις κατά μήκος των τομών πραγματοποιήθηκαν ανά $100 = \frac{25}{2}$ μέτρα. Τα υψηλότερα των σταθμών μετρήσης υπολογίσθηκαν με την



Σχήμα 2. Μεταβολή βαρυτομετρικής ανωμαλίας κατά μήκος προφίλ.

Figure 2. Variation of gravity anomaly along different profiles.

ΠΙΝΑΚΑΣ 1

Πυκνότητες Γεωλογικών Σχηματισμών

Λιθολογία Σχηματισμού	Πυκνότης (gr/cm^3)
Ασβεστόλιθοι Πίνδου	$2,70 \pm 0,01$
Ασβεστόλιθοι Τρίπολης	$2,69 \pm 0,01$
Πηλίτες φλύσκη Τρίπολης	$2,62 \pm 0,02$
Ψαμμίτης φλύσκη Τρίπολης	$2,48 \pm 0,03$
Μάργες (με ραδιολαρίτες) Πίνδου	$2,62 \pm 0,03$

εκτέλεση χωριστάθμησης ακριβείας, χαρακτηρίζονται δε από ακριβεία ±0,02 m. Οι αριθμούσες συντεταγμένες των σταθμών έχουν ακριβεία στην π. Δεπτομερεύς τοπογραφικές διεύρυνσες πραγματοποιήθηκαν μέχρι την έώνη L κατά Hammer (14.5 km). Το τοπογραφικό αποτέλεσμα υπολογίζεται χωριστά για την περιοχή και θάλασσα. Οι βαρυτικές ανωμαλίες που υπολογίζονται με βάση τον τύπο IGF-1967 (International Gravity Formula 1967) έχουν ανεξάρτητο επιπλέον αναφοράς (arbitrary datum) και προσδιορίζονται με ακριβεία καλύτερη του 1 dm (0.1 mGal).

Πιά την ερμηνεία των βαρυτικών ανωμαλιών πραγματοποιήθηκαν μετρήσεις πυκνότητας σε μεγάλο αριθμό διεγμάτων από διαφορετικούς γεωλογικούς σχηματισμούς και, τοποθετίες. Οι μετρεί τιμές που υπολογίζονται φαίνονται στον Ήλικα 1. Η τιμή της πυκνότητας βούλγαρη, που χρησιμοποιήθηκε για την αναγνώση των βαρυτικών μετρήσεων, ήταν 2,60 gr/cc. Δοκιμάσθηκε επίσης η τιμή 2,67 gr/cc, αλλά σε διαφορές που προέκυψαν στα πλάτη των βαρυτικών ανωμαλιών ήσαν πολύ μικρές.

Ναρ' άλλες τις αβεβαιότητες που υπάρχουν σε ότι αφορά τον χαρακτήρα των σχηματισμών (λιθολογία, πυκνότητα, πάχος) κάτω από το λεπτό στρώμα των αλλοιώσιμων αποθέσεων, έγινε προσπομένα ποιοτικής κυρίως ερμηνείας των βαρυτομετρικών τομών. Όπως φαίνεται από την βαρυτική τομή AB (Σχ. 2), υπάρχει μια μεταβολή της τάξης των 45 dm μεταξύ του βόρειου και του νότιου τμήματος της τομής. Η μεταβολή αυτή είναι σχετικά αποτομή (περίπου 20 dm/km) κυρίως στο κέντρο της τομής. Βαρυτικές τους αυτής της μεριάς είναι ενδεικτικές της υποβρήσης ρήγματος ή συστήματος ρήγμάτων μετάπτωσης ή υπέδαφος. Στην περιπτώση υποβρήσης ενός κυρίου ρήγματος μετάπτωσης, η θέση του πρέπει να βρίσκεται στο μέσον περπονών του συγκριτικού βάθυτηρού της καμπύλης της βαρυτομετρικής ανωμαλίας.

Με βάση τις βαρυτικές και γεωλογικές παρατηρήσεις οι ίδιες περιοχές, κατασκευάσθηκε ένα μοντέλο βαρυτικής προσομοίωσης 2,6 διαστάσεων. Οι επύπεροι σχηματισμοί που υπενθύμιζαν στην πρώτη περιοχή ήταν : (a) άλλούβια και πλευστοκανυκές αποθέσεις μέσης πυκνότητας 2,0-2,3 gr/cc και (b) πλευσκανυκές αποθέσεις μέσης πυκνότητας 2,2-2,5 gr/cc. Κάτω από τους σχηματισμούς αυτούς υπάρχει ή ασβεστόλιθος ή παρεμβαλλεται ενδιάμεσο ο φλύσχης πρώτα και στη συνέχεια υπάκειται ο ασβεστόλιθος. Το ασβεστόλιθικό υπόβαθρο, μέσης πυκνότητας 2,70 gr/cc διέπει στην τομή, ενώ ο φλύσχης, μέσης πυκνότητας 2,55-2,60 gr/cc, υπάκειται πιθανότατα στό νότιο τμήμα της τομής. Το βόρειο άκρο της τομής AB δεσχίνει μεσά σημείο της βαρυτικής ανωμαλίας, που οφεύλεται στην εμφάνιση των ασβεστόλιθων της ενδητητικής Τριπολής στην επιφάνεια. Στη κατασκευή του διεύρυνστατου μοντέλου καθοριστικό ρόλο (constraint) διαδρεμάτισε η επιφανειακή εμφάνιση του ασβεστόλιθου στο βόρειο άκρο της τομής AB, από όπου συγκεκριμένα αρχίζει το προφίλ αυτό. Επειδή ότι τα πάχη σύντομα μέσες πυκνότητες των σχηματισμών είναι επαρκώς γνωστά, δεν είναι δυνατόν να κατασκευαστεί ένα γεωλογικό μοντέλο που να προσεγγίζει την στρωματογραφία της περιοχής κατά μήκος της τομής AB. Αντ' αυτού επιχειρήθηκε ένα μοντέλο, που αποδίδει την παρατηρούμενη μεταβολή της βαρυτικής ανωμαλίας σε αντίστοιχη μεταβολή του πάχους των κλαστικών λεγμάτων (στα οποία συμπεριλαμβάνονται και τον φλύσχη, αν υπάρχει) κάτω από την επιφάνεια. Τα λεγμάτα θεωρείται ότι στην έχουν μεσή πυκνότητα 2,40 gr/cc. Η μετάπτωση από μικρού πάχους λεγμάτα στο βόρειο τμήμα της τομής σε μεγαλύτερα πάχη στο νότιο τμήμα δεχόμαστε ότι γίνεται μέσω του κανονικού ρήγματος.

Με την περαιπόνω παραδοχής προκύπτουν από το γεωφυσικό μοντέλο πάχη

υεημάτων της τάξης των 50m στο βόρειο τμήμα της τομής και 400 m στο νότιο τμήμα, αφ' επειδους ότι κλίση ρήγματος της τάξης των 30°. Η κλίση αυτή είναι πολύ μικρή για κανονικό ρήγμα. Είναι λοιπόν πιθανό μεταπτωση των στρωμάτων να μη γίνεται με ένα τέτοιο ρήγμα κάθετο περίπου στην τομή AB, αλλά να πραγματοποιεύται εύτε (α) με παράλληλα κανονικά ρήγματα, ή (β) με ένα κύριο κανονικό ρήγμα υπό γωνίαν με προς τη διεύθυνση της τομής AB. Η διεύθυνη αποφή υποστηρίζεται γεωλογικά από την ρηγματογόνο ιώνη του Νέδοντα, που ουσιαστεί σε ακολούθη την διεύθυνση του ποταμού (ΒΒΔ-ΝΝΔ). Για ρήγμα αυτό σύμφωνα με τους Mariolakos et al. (1989) αποτελεί το δυτικό άριστο της Λεκανής Δημοτικής - Περιβολακών, και επομένως η πτωση των τεμάνων της βαρυτικής ανωμαλίας από Β προς Ν στην τομή AB είναι σύμφωνη με την μεταβολή του πάχος των υεημάτων (αυξάνοντας από 8δ προς ΝΑ), που αναμένεται να προκαλεί το ρήγμα αυτό.

Γεωφυσικό μοντέλο κατά μίκος της τομής ΓΔ δεν επικεντρώνεται, διότι η διεύθυνση του είναι τέτοια που τα πάχη των υεημάτων εκτείνονται αυτούς διαφέρουν σημαντικά. Η τομή αρχίζει από τον ποταμό Νέδοντα και με διεύθυνση αρχικά ΒΔ-ΝΑ και μετά ΒΒΔ-ΝΝΔ καταλήγει στην τοποθεσία Παραλία Βιέργας στους πρόποδες του άρουρας Καλαθίου, με τους τελευταίους σταθμούς της τομής να κείνται πάνω σε ασβεστόλιθο.

Το δυτικό τμήμα της τομής ΓΔ είναι περίπου καθετο στη διεύθυνση του ρήγματος του Νέδοντα και η καμπύλη της βαρυτικής ανωμαλίας στην περιοχή κοντά στο ρήγμα παρουσιάζει μείωση προς τα ανατολικά (Σχ. 2). Η πτωση των τεμάνων είναι της τάξης των 25 g/m² και είναι μεγαλύτερη από την αντίστοιχη πτώση των τεμάνων στην εύσηστη περιοχή κατά μίκος της τομής AB. Το γεγονός αυτό ενισχύει την αποφή ότι η μείωση των τεμάνων

των βαρυτικών ανωμαλιών στην τομή AB οφείλεται σε μεγάλο βαθμό στο ρήγμα του Νέδοντα. Η συνολική πτώση από το δυτικό άκρο της τομής μέχρι τις χαμηλότερες τιμές είναι της τάξης των 16 g, που είναι το ένα τρίτο περίπου του πλάτους κατά μήκος της τομής AB (περίπου 45 g). Το γεγονός αυτό πιστεύουμε ότι οφείλεται σε δύο λόγους:

- (i) Το πάχος των υεημάτων (ιδιαίτερα των αλλοιωθέντων που έχουν πολύ χαμηλή πυκνότητα) είναι αρκετά μεγαλύτερο στο νότιο τμήμα της τομής AB από το αντίστοιχο πάχος κατά μήκος της τομής ΓΔ.
- (ii) Το δυτικό άκρο της τομής ΓΔ ιρίσκεται σε περιοχή καλυμμένη με αλλούτια σχετικά μικρά από την εμφάνιση των ασβεστόλιθων και είναι η τελή της βαρυτικής ανωμαλίας είναι λίγη χαμηλή (~20 g), ενώ στο αντίστοιχο βόρειο άκρο της τομής AB (βόρεια από το σημείο σημείο Γ) το πάχος των υεημάτων είναι μικρότερο και η εμφάνιση των ασβεστόλιθων είναι πολύ κοντά με αποτέλεσμα η τελή της βαρυτικής ανωμαλίας να είναι συγκριτικά μεγαλύτερη. Η απότομη ανοδός των τεμάνων βαρυτητας στο ΝΑ άκρο της τομής ΓΔ οφείλεται στους ασβεστόλιθους του τεκτονικού κέρατος του Καλαθίου Ήρους.

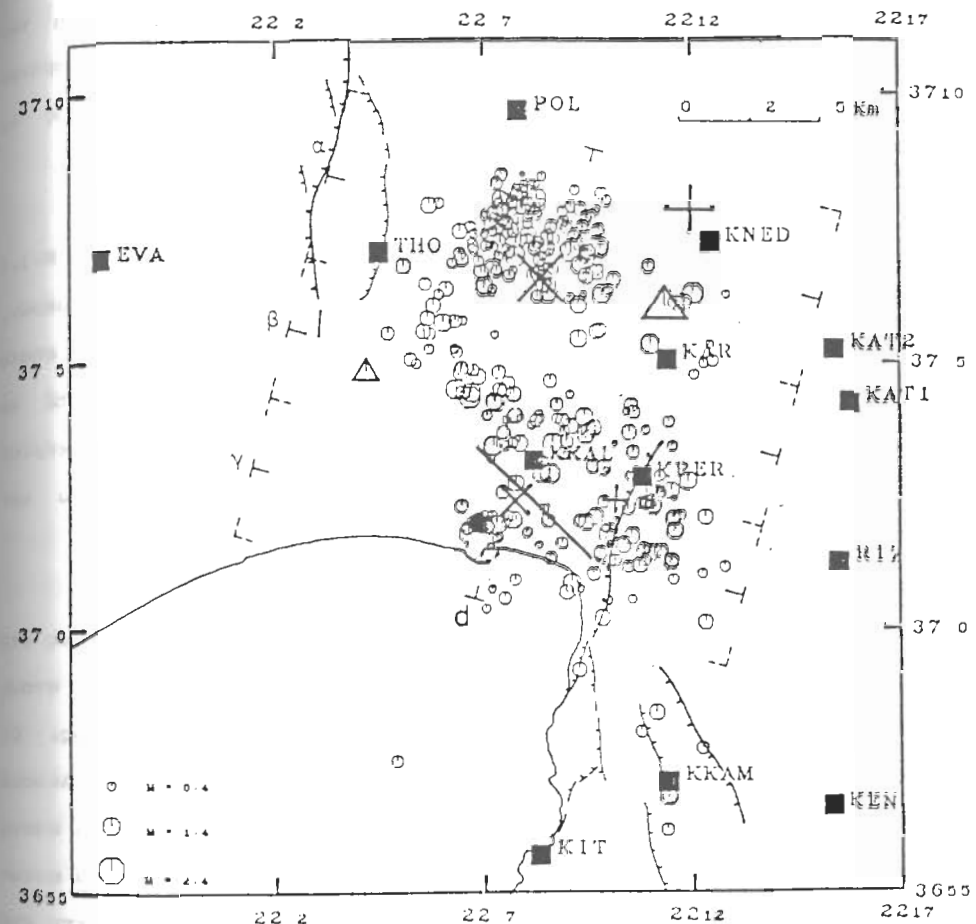
Το κυριότερο χαρακτηριστικό των μικρών τομών ΕΖ και ΗΒ (Σχ. 2) είναι μια ανωμαλία σχήματος V, που οφείλεται πιθανόν σε παλαιά κούτη ποταμού. Πρέπει να σημειωθεί ακόμα ότι το βόρειο τμήμα των τομών παρουσιάζει ανοδό των τεμάνων των βαρυτικών ανωμαλιών, ιδιαίτερα στην τομή ΕΖ η μεταβολή αυτή είναι της τάξης των 25 g/m², έτσι περίπου με τη βαρυτική βαθμίδα στο δυτικό τμήμα της τομής ΓΔ. Η διεύθυνση των δύο τομών είναι περίπου Β-Ν και η απότομη μεταβολή της βαρυτητας υποστηρίζει την ύποπτη και άλλου τεκτονικού αυτού εκτός από το ρήγμα του Νέδοντα (αφού εχουμε απομακρυνθεί απ' αυτό) που να

προκαλεῖ μετάπτωση των οικημάτων. Η τομή ΙΚ (Σχ. 2) παρουσιάζεται με σημαντική πτώση των βαρυτικών ανωμαλιών πρός τα νότια συνολικού πλάτους 16 g.u.

4. Σεισμολογικές Παρατηρήσεις - Κατανομή Μετασεισμών

Δίχες μέρις μετά τον κύριο σεισμό ένα δέκτυο 16 φορητών σεισμογραφών εγκαταστάθηκε ύψω από την πληγείσα περιοχή για την μελέτη της μετασεισμικής δραστηριότητας, η λεπτομερής δε περιγραφή του τρόπου καταγραφής, των κριτηρίων επιλογής και της επεξεργασίας των μετασεισμών δίνεται από τους Lyon-Caen et al. (1988). Οι μετασεισμοί καλύπτουν μια περιοχή 10 km x 15 km και τα επικεντρά τους (Σχ. 3) μπορούν να χωριστούν σε δύο σμήνη (ομάδες), τα οποία χωρίζονται από μια οστεινή ζώνη 2 km χωρίς σεισμική δραστηριότητα (Papazachos et al. 1986, Lyon-Caen et al. 1988). Το βόρειο σμήνος φαίνεται περισσότερο συγκεντρωμένο στον χάρτη (Σχ. 3) από το νότιο σμήνος και παρουσιάζει αρκετές διαφορές από αυτό στα χαρακτηριστικά του.

Σύμφωνα με τους Makropoulos et al. (1988) η κυριότερη διαφορά συνέσταται στο ότι, σε αυτήν την με το βόρειο, το νότιο σμήνος παρουσιάζει ομοιόμορφη συμπεριφορά όσον αφορά την ανάλυσή του με τη μέθοδο κύριων παραμέτρων (principal parameters method) των Ebbing and Michelini (1986). Η ανάλυση με τη μέθοδο αυτή δίνει συγκεκρινά ελλειψοειδή με μέση διεύθυνση $B45^\circ A \pm 2^\circ$ και μέση κλίση $82^\circ \pm 6^\circ$. Οι αντίστοιχες λύσεις στο βόρειο σμήνος δίνουν δύο ομάδες διεύθυνσών ($B32^\circ A \pm 4^\circ$ και $B50^\circ A \pm 13^\circ$) και τέσσερες ομάδες κλίσεων ($81^\circ \pm 7^\circ$ για την πρώτη μέση διεύθυνση και $47^\circ \pm 3^\circ$, $63^\circ \pm 5^\circ$ και $85^\circ \pm 5^\circ$ για την



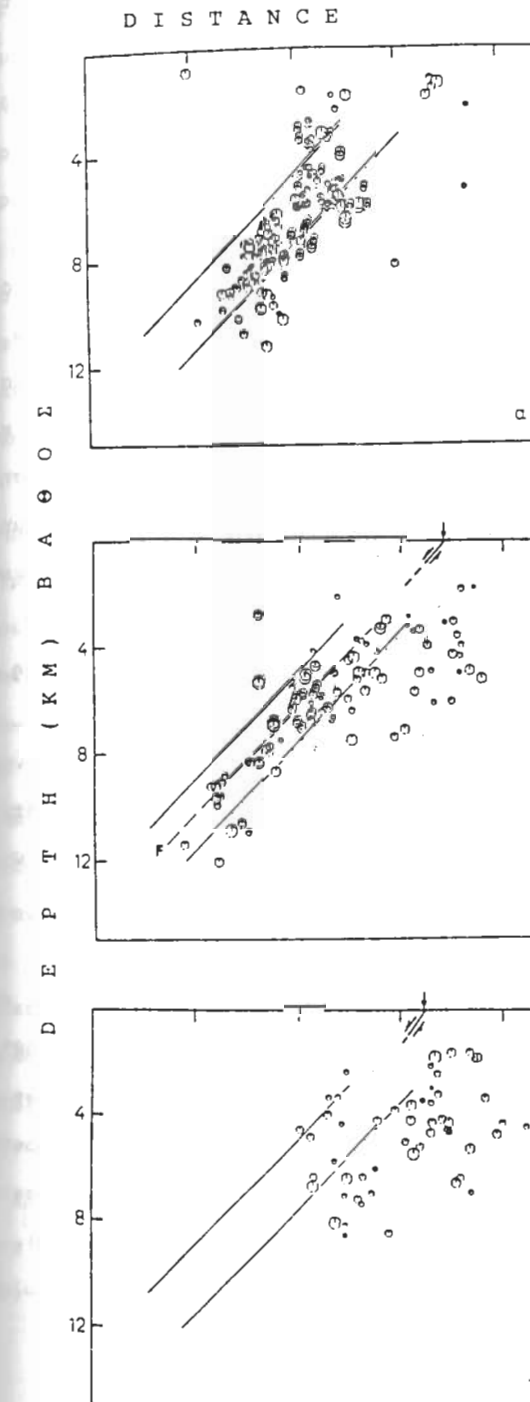
Σχήμα 3. Κατανομή των επικέντρων των μετασεισμών στην ευρύτερη περιοχή Καλαμάτας (Lyon-Caen et al., 1988). Με α, β, γ αναπαρίστανται οι περιοχές επικέντρων που έχουν προβληθεί σε καταχόρυφο επίπεδο.

Figure 3. Earthquake epicenter distribution of the Kalamata aftershocks in the broader area (Lyon-Caen et al., 1988). The regions α, β, γ are those the hypocenters of which have been projected on a vertical plane.

δεύτερη μέση διεύθυνση). Σημαντική είναι η παρατηρηση ότι
έδιων ερευνητών, ότι η χωρική διαφοροποίηση των δύο σημείων
συνοδεύεται και από χρονική διαφοροποίηση με το νότιο σημείο να
δραστηριοποιείται στη μετασεισμική σειρά αργότερα από το βόρειο.

Οι Papazachos et al. (1986) αναλύουντας 39 μετασεισμούς μεγέθους M>1.7
καταγραφέντες από 5 φορητούς σεισμογράφους σε διαστηματική τριάντανη ημέρα,
διαπιστώνουν επίσης την ύπαρξη δύο σημείων μετασεισμών (τα οποία
διαφέρουν στο μέσο βάθος των υποκέντρων: 7 ± 2 km το βόρειο και 5 ± 2 km
το νότιο) και τους αποδίδουν σε κύνηση κατά μήκος του κύριου
κανονικού ρήγματος της Βέργας με διεύθυνση EEA-NNW έως E-N, όπου και
παρατηρούνται οι κυριαρχείσσεις διαφοροποιήσεις.

Οι Lyon-Caen et al (1988) αποδίδουν και αυτοί τους μετασεισμούς στο
ρήγμα της Βέργας, παρόλο που διαπιστώνουν σημαντικές διαφορές στους
μηχανισμούς γέννησης ανάμεσα στο βόρειο και το νότιο σημείο. Οι
μηχανισμοί γέννησης στο βόρειο σημείο συνιστούν οριζόντιο εφελκυσμό
με άξονα T διεύθυνσης $8105^{\circ}A \pm 15^{\circ}$ και σχεδόν κατακόρυφο αξόνα
συμπίεσης (άξονας P). Η προβολή των υποκέντρων τους (υψηλάτερα αυτών
με h=4 km) σε κατακόρυφο επίπεδο με διεύθυνση $8105^{\circ}A$ (καθετή στο
ρήγμα της Βέργας) σχηματίζει μια ζώνη που βυθίζεται προς τα δυτικά (Σχ.
4α). Οι αντίστοιχες προβολές των βόρειου και νότιου τμημάτος του
νότιου σημείου (Σχ. 4β, 4γ) παρουσιάζουν μια μεγάλη διασπορά χωρίς
σαφή κλίση βύθισης αντίστοιχης αυτής του ρήγματος της Βέργας. Οι
μηχανισμοί γέννησης στο νότιο τμήμα συνιστούν συμπίεση με διεύθυνση
 $8110^{\circ}A \pm 20^{\circ}$ (άξονας P), και στο βόρειο τμήμα παρατηρούνται και οι
δύο μηχανισμοί που αναφέρθηκαν. Οι Lyon-Caen et al (1988)
συμπεραίνουν ότι οι εφελκυστικοί μηχανισμοί λαμβάνουν χώρα στην ένατη



Σχήμα 4. Κατανομή των υποκέντρων των περούχων α, β, γ (Σχ. 3) σε κατακόρυφο επίπεδο, ύστερα από προβολή τους.

Figure 4. Hypocenter projection on a vertical plane (perpendicular to the average Verga Fault trend) of the earthquakes fallen in areas α, β, γ (Fig. 3).

του ρήγματος της Βέργας, οι δε συμπειστικοί στο "ανιερχόμενο" τμήμα του δύσου ρήγματος.

5. Συζήτηση - Συμπεράσματα

Οι βαρυτικές μετρήσεις που πραγματοποιήθηκαν στην πλαγιά σαν από τον ζευγμό της 13/9/1986 περιοχή της Καλαμάτας επιβεβαιώνουν (μέσω της υψηλής βαρυτικής βαθμούς στις τομές ΗΒ και ΓΔ) την σημαντικότητα του ρήγματος του Νέδοντα, ο οποίος αποτελεί και το δυτικό άριστο των πλεον σημαντικών έγμων από τον ζευγμό. Η προς τα βόρεια συγκρητιση της βαρυτικής ανωμαλίας στις μικρότερες τομές (ιεριαλτερα στην τομή EZ σπου τη βαθμού είναι αρκετά υψηλή) υποδεικνύει την ύπαρξη ενός κυρίου ρήγματος ή μικρότερων παραλλήλων ρήγματων μέσα στη λεκάνη και κάτω από τα Ολοκαυτικά (αλλούβια) και Πλευστοκαυτικά ιεράματα. Η αποψη αυτή είναι σύμφωνη με τα συμπεράσματα των Makropoulos et al. (1989). Ήταν ομοιοπόεδα ελλειψώνεις με διεύθυνση ΒΔ-ΝΑ στην περιοχή του νοτίου σημήνους μετασεισμών. Το μέσο βάθος στο σημήνος αυτό είναι 5±2 km σύμφωνα με τους Papazachos et al. (1986), αποφή που επιβεβαιώνεται και από τα σχήματα 4β, 4γ.

Εάν υποθέσουμε ότι οι μετασεισμοί του νότιου σημήνους οφεύλονται στον κύριο κανονικό ρήγμα διεύθυνσης 84°±δ και μεσημέσης 58° (από Makropoulos et al. (1989) 52°±6°, ενώ από Lyon-Caen et al. (1988) 55°-60°), τότε το ξηνός του ρήγματος αυτού θα έπρεπε να βρίσκεται 3 περίπου km ΒΔ από τη μεγαλύτερη συγκεντρωση μετασεισμών στο νότιο σημήνος και να έχει παρόμοια διεύθυνση (ΒΔ-ΝΑ). Έτσι συγκρίσιμες με την παραπάνω αποστάσεις και διεύθυνσης στον γεωλογικό

χάρτη φαίνονται μερικά εν encheles ρήγματα, το οποία προς νότο τείνουν το ρήγμα του ποταμού Ζερέλα και ορίζουν την εμφανιση των ασβεστολίθων της ενδηματικής Τρύπολης βόρεια από το ρήγμα αυτό (Σχ. 1). Στο ύψος των ρήγματων αυτών αλλάζει φορά και ο ροής των ποταμών Ζερέλας και Βεντέτα. Τα ρήγματα αυτά συνεχίζονται σαν ένα κύριο ρήγμα με διεύθυνση ΔΒΔ-ΑΝΑ μέσα από τη δυτικότερη εμφάνιση των ασβεστολίθων του καλύμματος της Μινόδου, της Πλευστοκαυτικής αποθέσεως και στο δυτικό άκρο του γεωλογικού χάρτη (Σχ. 1) ορίζουν την επαφή Πλευστοκαυτικών αποθέσεων και των ασβεστολίθων της ενδηματικής Τρύπολης. Ήπειρει να σημειώσουμε ακόμα ότι η εμφάνιση των αλλούβων αποθέσεων θα της Καλαμάτας και η επαφή τους με τους Πλευστοκαυτικούς σημετασμούς έχει γενικά διευθύνση ΒΔ-ΝΑ παραλληλή με την παραπάνω ρήγματογόνο ζώνη και ότι κοντά στην επαφή αυτή ο ροής των ποταμών Ζερέλας και Βεντέτας αλλάζει πάλι φορά από ΒΔ-ΝΑ σε ΑΚΕΔΟΝ ή Β-Ν. Στην πρόσκταση της ζώνης αυτής (παραλληλή σχεδόν με την τομή ΓΔ) ο ποταμός Νέδων παρασυνίζει μεά παραλληλή μεταστόπιση προς νότο και σχηματίζεται και μεά μικρή υπολεκάνη αλλούβων (βόρεια από το σημείο Γ - Σχ. 1). Είναι ίστοι πιθανό η γενική διεύθυνση της επαφής αλλούβων - Πλευστοκαυτικών αποθέσεων να οριοθετεί την ύπαρξη ενός κύριου κανονικού ρήγματος (ή περισσοτέρων παραλληλών) με διεύθυνση ΒΔ-ΝΑ. Ένα τέτοιο ρήγμα θα επηγένονται και την υψηλή βαρυτική βαθμούς στο βόρειο άκρο των τομών EZ, κυρίως, ΗΕ και ΓΔ, και έσως την αλλούβη διεύθυνσης στο ρήγμα της Βέργας από 810°Α σε 830°Α (Lyon-Caen et al., 1988).

Το ερώτημα που γεννάται είναι αν το ρήγμα (ή το σύστημα ρήγμάτων) αυτό ενεργοποιήθηκε την περίοδο της σεισμικής δραστηριότητας του 1986 στην περιοχή. Αν υποθέσουμε ότι υπάρχει ένα κύριο ρήγμα, τότε από το

μήκος του προκύπτειν ότι ενδεχόμενη δραστηριοποίησή του θα έπρεπε να δώσει ένα σεισμό μεγέθους $M = 5,5$, περίπου. Συγκριτικός σε μετασεισμός και θέση επικέντρου είναι ο μεγαλύτερος μετασεισμός ($M = 5,4$). Ενσχητική μαρτυρία για πιθανή ενεργοποίηση ενός τέτοιου ρήγματος δίνει ο χάρτης 1 των Φουντούλη και Γρίβα (1989), ο οποίος παρουσιάζει διαρρήξεις στην Έδεια διεύθυνση (Σχ. 5), σε οποίες μάλιστα χαρακτηρίζονται από αμελητέα κατακόρυφη κίνηση και οριζόντια αριστερόστροφη κίνηση στις θέσεις 2 και 3. Στην Έδεια επίσης εργάσεις παρουσιάζεται χάρτης ρήγματων από ανάλυση δορυφορικής εικόνας στην οποία επίσης παρουσιάζεται ρήγμα σε θέση ανάλογη με το προτεινόμενο.

Πιστεύεται ότι είναι δυνατόν η ιστορία του μεγαλύτερου μετασεισμού να βρίσκεται στην συμβολή του ρήγματος της Βέργας και του ρήγματος που προτείνεται στην παρούσα εργασία διεύθυνσης ΒΔ-ΝΔ (Σχ. 5). Η πιθανή κίνηση κατά μήκος του ρήγματος αυτού δεν είναι σαφής. Η διεύθυνση του και οι διαρρήξεις κατά μήκος αυτής ευνοούν την αποψη για κίνηση αλλεθησης. Ρήγματα συνυγόμενα με αυτήν διεύθυνσης (ΒΔ-ΝΔ) παρατηρούνται στην περιοχή νότια από το Ελαιοχώρι μεταξύ δύο ρήγματων διεύθυνσης Α-Δ (Σχ. 1) μαρτυρούντας την ύποπτη διατμητικων τάσεων παράμοιας διεύθυνσης. Εάν τέτοιες τάσεις είναι ενεργείς στην περιοχή σήμερα, θα μπορούσαν να προκαλέσουν συμπιεστικά φαινόμενα κατά μήκος του προτεινόμενου ρήγματος (ή παραλλήλων ρήγματων) και να εισηγήσουν τους συμπιεστικούς μηχανισμούς γέννησης των μετασεισμών στο νοτιώτερο μέρος του νοτίου σμήνου μετασεισμών. Η αποψη αυτή μπορεί να θεωρηθεί εναλλακτική ή και συμπληρωματική της ερμηνίας περί αιναπαλστερών κινήσεων στο ανερχόμενο τμήμα του ρήγματος της Βέργας (Lyon-Caen et al., 1988).



Σχήμα 5. Διαρρήξεις στην ευρύτερη περιοχή περιοχή Καλαμάτας μετά τον κύριο σεισμό (Φουντούλης και Γρίβας, 1989) και θέση του προτεινόμενου ρήγματος και του μεγαλύτερου μετάσεισμου (αστερίσκος).

Figure 5. Surface ruptures in the broader area of Kalamata after the main earthquake (Fudulis and Grivas, 1989) and the position of the proposed fault and the large aftershock (asterisk).

- Ebbing, C. and Michelini, A., 1986. "A principal parameter analysis of aftershock sequence: applied to the 1977 Friuli, Italy, sequence," Ann. Geophys., 4B(4), 473-480.
- Lyon-Caen, H., Armijo, R., Drakopoulos, J., Delibasis, N., Gaulon, R., Kou-skouna, V., Latoussakis, J., Makropoulos, K., Papadimitriou, D. and Pedotti, G., 1988. "The Kalamata (South Peloponnese) earthquake: detailed study of a normal fault and tectonic implications." J. Geophys. Res., 93(B12), 14967-15000.
- Makropoulos, K., Tselentis, A., Voulgaris, N. and Drakopoulos, J., 1989. "Spatial and Temporal Evolution of the September 1986, Kalamata, Greece, Aftershock Sequence." Bull. Geol. Soc. Greece, vol. XXIII/3, 373-384.
- Mariolakos, I., Foundoulis, I., Logos, E., Lozios, S., 1989. "Surface faulting caused by the Kalamata (Greece) earthquakes (13-9-1986)". Tectono-physics, 163, 197-203.
- Papadimitriou, E. and Papazachos, B.C., 1985. "Evidence for precursory seismicity patterns in the Ionian Islands (Greece)." Erth. Predict. Res., 3, 95-103.
- Papazachos, B.C., Papadimitriou, E.E., Kiratzi, A.A., Papaioannou, Ch. and Karakaisis, F.F., 1986. "Probabilities of occurrence of large earthquakes in the Aegean and surrounding area during the period 1986-2006." Pure Applied Geophys., 125, 597-612.
- Purcaru, G. and Berckhemer, H., 1979. "Patterns of occurrence of large earthquakes in the region of the Mediterranean." Intern. Symp. Earth. Predict., UNESCO, 1979, Paris, Paper III-7, Publ.Sc/79/Conf, 802, 15pp.
- Wyss, M. and Baer, M., 1981. "Seismic quiescence in the Western Hellenic Arc may foreshadow large earthquakes". Nature, 289, 785-787.
- Φουντούλης, Δ., Γρίβας, Κ., 1989. "Μικροτεκτονική Μελέτη Σεισμικών Ρωγμών Καλαμάτας (Σεισμική περίοδος Σεπτεμβρίου 1986)." Bull. Geol. Soc. Greece, vol. XXIII/3, 259-274.